

20932

Informe 952
6

DETERMINACION DE LA FAUNA FOSIL CONTENIDA EN UNA
MUESTRA DE SUPERFICIE PROCEDENTE DE ^{COY}~~CENOMAN~~ (MURCIA).-

El material fósil contenido en esta muestra, se reduce a unos pocos ejemplares de Equínidos; Ammonites y Belemnites, fragmentarios y mal conservados, lo que hace que sus determinaciones específicas resulten un tanto inciertas.

Los asimilamos con reservas, a los siguientes géneros y especies:

25-37 AD-VE 202

Discoides (Discoidea) sp. -----	Aptense-Turonense
Acanthoplites (?) cf. aschilatensis ----- Anthula.	Barremiense-Bedouliense superior
Neohibolites sp. -----	Aptense-Albanse
Parahibolites sp. -----	Neocomiense superior-Cenomanense inferior

Podría atribuirse a la muestra una edad correspondiente al Aptense inferior, aunque no lo aseguramos.

20932

DETERMINACION DE LA FAUNA FOSIL CONTENIDA EN CINCO
MUESTRAS DE SUPERFICIE PROCEDENTES DE COY (MURCIA).-

El material fósil está integrado por una fauna de Moluscos, Equínidos, Ammonites y Belemnites, en general, mal conservados. Como quieran que se aprecian muy pocos de los caracteres utilizables para la determinación sistemática, sobre todo de los Ammonites, solo podemos dar sus clasificaciones, y consiguiente datación, con algunas reservas.

Creemos haber identificado los siguientes géneros y especies:

25-37 AD-BA 81

Phylloceras sp.	Hettangiense- Maestrichtiense
Lytoceras sp.	Pliensbachiense- Aptense
Lissoceras sp. (cf. L. psilodiscus Schloenbach (?). Posible Titónico	Bajociense-Batho- niense (?)

20932

25-37 AD-BA 83

Calliphyloceras cf. mediterraneum (?) Neumayr	Calloviense-Titónico
Phylloceras sp.	Hettangiense-Maes- trichtiense.
Protetragonites quadrisulcatus (?) (d'Orb)	Titónico?
Taramelliceras (?) sp. Probable Titónico	Calloviense-Kimmerid- giense.

25-37 AD-BA 93

Chondroceras gervellii Sowerby..	Bajociense
Phoecilomorphus cycloides (Buck - man).	Bajociense
Oppelia cf. subtilicostata Paro - na.	Bajociense
Odontobelus (?) sp.	Liásico superior- Bajociense

25-37 AD-BA 111

Nummulites aff. uroniensis (?) Arnold-Haime.	Luteciense supe - rior.
Nummulites aff. aturicus Jolyot- Leymérie	Luteciense sipe - rior.

25-37 AD-BA 112

Nummulites aff. aturicus Jolyot- Leymérie	Luteciense supe - rior.
Prenaster sp.	Eoceno-Actual

20932

Conclusiones.

Vista la distribución estratigráfica de las especies determinadas, y teniendo en cuenta la relativa inseguridad de algunas de estas determinaciones, pasamos a continuación a dar las posibles edades atribuibles a las muestras en cuestión:

<u>25-37 AD-BA 81</u>	Bajociense-Batho niense (?)
<u>25-37 AD-BA 83</u>	Posible Callovien se.
<u>25-37 AD-BA 93</u>	Bajociense
<u>25-37 AD-BA 111</u>)	Luteciense supe- rior.
<u>25-37 AD-BA 112</u>)		



EMPRESA NACIONAL "ADARO"
DE
INVESTIGACIONES MINERAS, S. A.
LABORATORIO DE MICROPALAEONTOLOGIA

Página n.° _____



20932

2537 AD BA
united
13, 81, 83, 93, 111, 112
Muxi todos "M"

25-37 AD-BA 13M

Calliphyllloceras (*Holcophylloceras*) cf. *mediterraneum* Henmayr.

Calloviense - Titónico

Virgatosphinctes (*Dorsoplanites*) cf. *dorsoplanus* Mich.

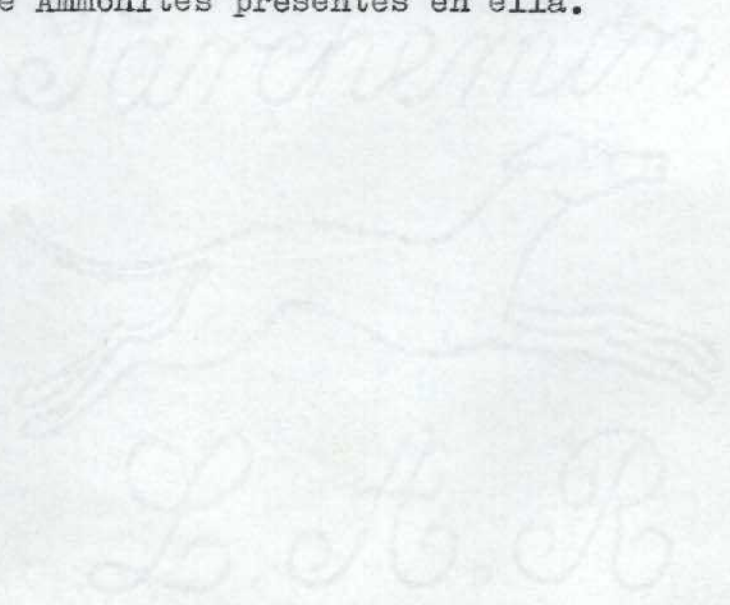
Portlandiense

Pavlowia cf. *iastriensis* Ilowaisky.

Portlandiense

2

La designada con la referencia 25-37 AD-BA 13M corresponde a un nivel Portlandiense, que viene determinado por los géneros y especies de Ammonites presentes en ella.



EL JEFE DEL LABORATORIO



EMPRESA NACIONAL "ADARO"

DE
INVESTIGACIONES MINERAS, S. A.

LABORATORIO DE MICROPALAEONTOLOGIA

MADRID - CERRO DE LOS ANGELES
TELEFONO 237 17 00

19 de Agosto de 1972

20932

INFORME N.º 758

ESTUDIO MICROPALAEONTOLOGICO Y ESTRATIGRAFICO DE
CUATRO MUESTRAS DE SUPERFICIE PROCEDENTES DE COY (MURCIA).

22-37 AD-BA 9.-

Biomierita
filamentos
Equinodermos .
espículas
Nodosaria
Protoglobigerina (?)
Toarciense-Aalenienne

25-37 AD-BA 10.-

Biomierita
filamentos
algún Ostrácodo
espículas
(Toarciense, s.g.c.)

EL JEFE DEL LABORATORIO

20932

25-37 AD-BA 11.-

Biomiorita repleta de filamentos
espículas

(Dogger, s. g. c.)

25-37 AD-BA 13.I

Biomiorita

Radiolarios

Lagónidos

~~Apathycus~~ Apathycus~~Protoglobigerinae (Globigerinae abundantes)~~

Globochaete

Saccocoma

Stomiosphaera

Microfósiles así se despachan como Oxfordiense. Pero yo creo
que se trata de un ~~Kimmeridgiense~~ Kimmeridgiense Cretáceo inferior. Es una lástima
que no se vean seguros Tintinoides.

(Tintinoides)



EMPRESA NACIONAL "ADARO"
DE
INVESTIGACIONES MINERAS, S. A.
LABORATORIO DE MICROPALAEONTOLOGIA

MADRID - CERRO DE LOS ANGELES

TELEFONO 237 17 00

18 de Agosto de 1972

20932

INFORME N.º 755

ESTUDIO MICROPALAEONTOLOGICO Y ESTATIGRAFICO DE
QUINCE MUESTRAS DE SUPERFICIE PROCEDENTES DE COY (MURCIA).

25-37 AD-BA 1J-

Biointrasparita.

Se determinan:

Melobesias

Equinodermos

Textuláridos

Globorotalias

Globigerinas

Anomalínidos

Bolivínidos

¿Globigerinoides?

¿Orbulínidos?

Amphisteginas

Oligoceno superior-Mioceno inferior

(probable Mioceno)

EL JEFE DEL LABORATORIO

20932

25-37 AD-BA 2.-T

Biomiorita.

Se determinan:

Melobesias
Equinodermos
Textuláridos
Anomalinidos
Heterosteginas
Operculinas
Bolivinidos
Rotálidos
Amphisteginas

Oligoceno-Mioceno inferior25-37 AD-BA 3.-L

El residuo de levigación está formado por trozos
de caliza arcillosa.

Se determinan:

espículas
Sigmoidina tenuis
Globigerina aff. tripartita
Vulvulina spinosa
Stilostomella verneuilli

20932

Globigerina venezolana

Globigerinita aff. dissimilis

Oligoceno-Mioceno25-37 AD-BA 4.-

El residuo de levigación está formado por trozos de
marga.

Se determinan:

Globigerinita dissimilis

Globigerina venezolana

Globigerina aff. ampliapertura

Globigerina aff. tripartita

Oligoceno-Miocenoinferior25-37 AD-BA 5.-

El residuo de levigación está formado por trozos de
marga.

Se determinan:

espículas

Globigerinita dissimilis

Almaena aff. hieroglyphica

Planorbulina mediterraneensis

Globigerina venezolana

Globigerina aff. tripartita

probable Oligoceno

20932

25-37 AD-BA 6.4

El residuo de levigación está formado por trozos de margas blancas.

Se determinan:

Globotruncana elevata

Globotruncana linneiana

Globotruncana fornicata

Heterohelix Globulosa

Campaniense

25-37 AD-BA 7.4

El residuo de levigación está formado por trozos de marga blanca y rojiza.

Se determinan:

Globotruncana bulloides

Globotruncana linneiana

Globotruncana elevata

Campaniense

25-37 AD-BA 8.4

El residuo de levigación está formado por trozos de calizas arcillosas blancas y rojas. Hay una abundantísima resedimentación del Cretácico superior.

20932

Se determinan:

*Globoretalia velascoensis**Globoretalia vex**Globigerina soldadoensis**Globigerina lanaperta**Globoretalia nequa*Ilardiense25-37 AD-BA 14.4

El residuo de levigación está formado por trozos de
marga. Existe resedimentación del Cretácico superior.

Se determinan:

*Globoretalia bullbrooki**Globoretalia centralis**Globigerapsis index**Truncoretaloides aff. topilensis**Nummulites sp.*Luteciense25-37 AD-BA 15.7

Biomicrota.

Se determinan:

*Melobesias**Equinodermos*

20932

Amphisteginas

Globigerinas

Globorotalias

Anomalinidos

Micgypsina

¿Lepidocyclinas?

Oligoceno superior-Mioceno inferior25-37 AD-BA 16. L

El residuo de levigación está formado por trozos de
marga.

Se determinan:

Radiolarios

Globotruncana intricata

Globotruncana angusticarinata

Globigerinelloides cf. bentonensis

Globigerinelloides spp.

Hedbergella "ex grege" planiopira

Globotruncana sigal

Globotruncana "ex grege" linneiana

Zona de "Globorotalia schreogansi"

Coniaciense

20932

25-37 AD-BA 18.4

Pelmicrita.

Se determinan:

Equinodermos

Lagénidos

Textuláridos

Miliólidos

Rotalidos

Dentalium

Amphisteginas

Operculinas

Heterosteginas

Globigerinas

Terciario

(probable Oligo- Eoceno)

25-37 AD-BA 19.4

El residuo de levigación está formado por trozos de
marga.

Se determinan:

Globigerinita dissimilis

Globorotalia acrostoma

Globigerinoides trilobus

Globigerinoides sacculiferus

20932

Globigerinoides ruber

Globoquadrina sp.

Globoquadrina dehiscentes

Vulvulina spinosa

Globigerina venezuelana

Aquitaniense-Burdigaliense25-37 AD-BA 20.1

Biointrasparita.

Se determinan:

Molobesias

Amphisteginas

Dentalium

Briozocs

Operculinas

Lepidocyclinas

Oligoceno superior-Mioceno inferior25-37 AD-BA 21.1

El residuo de levigación está formado por trozos de
marga.

Se determinan:

Radiolarios

espículas

Discorbis orbicularis

Globigerinoides trilobus

Globigerinoides bisphaericus

Globoquadrina dehiscens

Globorotalia scitula

Prasorbulina transitoria

Burdigaliense superior-Langhiense inferior

20932

Albino Informe 988



73.

25-37 AD-BA 30 T

Biomicrota con filamentos.

Equinodermos

Toarciense-Oxfordiense

25-37 AD-BA 33 T

Biomicrota con filamentos.

Toarciense-Oxfordiense

25-37 AD-BA 154 L

El residuo de levigación está formado por trozos de caliza arcillosa. Fósiles mal conservados. Hay resedimentación del Cretácico.

Se determinan:

Globorotalia centralis

Globigerina venezuelana

Globorotalia bullbrooki

¿Globigerapsis?

Luteciense

20932

25-37 AD-BA 155 T

Pelmicrita arenosa.

Globigerinas

Anomalínidos

Discocyclina

Operculina

Gypsinidos

Solenomeris

Eoceno

25-37 AD-BA 156 L

El residuo de levigación está formado por trozos de caliza arcillosa.

Se determinan:

Globotruncana cónica

Globotruncana lineiana

Globotruncana fornicata

Globotruncana contusa

Globotruncana stuarti

Maastrichtiense

20932

25-37 AD-BA 157L

El residuo de levigación está formado por trozos de margas.

Se determinan:

Radiolarios

Moluscos

Ostrácodos

Ammodiscus tenuissimus

Lenticulina sp.

posible Cretácico-inferior

25-37 AD-BA 158 L

El residuo de levigación está formado por trozos de marga.

Moluscos

Ostrácodos

Radiolarios

Lenticulina sp.

posible Cretáceo inferior

20932

25-37 AD-BA 159T

Biomicrota con Radiolarios.

Lagénidos

Ammonites

Epistomina

Esquistos de Moluscos

Malm (Kimmeridgiense probable)

25-37 AD-BA 160T

Micrita llena de filamentos

Ostrácodos

Dogger-Malm

25-37 AD-BA 161T

El residuo de levigación está formado por trozos de marga.

Se determinan:

Radiolarios (esféricos y discoidales)

¿Dyctiomitra?

Dentalina sp.

Ammodiscus aff. siliceus

Lenticulina

20932

Dorothia sp.

probable Cretácico inferior

25-37 AD-BA 162 L

El residuo de levigación está formado por trozos de marga.

Se determinan:

Globotruncana ex. gr. linneiana

Globotruncana fornicata

Globotruncana concavata

Globotruncana coronata

Santoniense

25-37 AD-BA 163 L

El residuo de levigación está formado por trozos de marga. Fósiles escasos y mal conservados.

Se determinan:

tubos calizos de Algas

Radiolarios

Ticinella roberti

20932

Hedbergella trocoidea

Albiense-Cenomanense inferior

(probable Albiense) pudiera ser más mo
derno con resedimentación.

25-37 AD-BA 164 T

Biomicrota.

Radiolarios

Esquirlas finas

Jurásico superior

25-37 AD-BA 165 L

El residuo de levigación está formado por trozos
de marga. Fósiles escasísimos.

Se determinan:

Lenticulina sp.

Ostrácodos

Edad indeterminada

20932

25-37 AD-BA 166 L

-8-

El residuo de levigación está formado por trozos de marga. Fósiles escasísimos.

Se determinan:
Se determinan:

tubos calizos de Algas
Radiolarios
Equinodermos
Ammodiscus sp.
Ammodiscus sp.

Edad indeterminada
Edad indeterminada

25-37 AD-BA 169 L

25-37 AD-BA 167 L

El residuo de levigación está formado por trozos de marga. Fósiles escasísimos.
El residuo de levigación está formado por trozos de marga y de calizas margosas. Fósiles escasísimos.

No se aprecian restos fósiles.

Se determinan:

Edad indeterminada
Lenticulina sp.

25-37 AD-BA 170 T Edad indeterminada

Biomierita llena de prismas de *Il. ceramus*.

25-37 AD-BA 168 L

Ostrácodos

El residuo de levigación está formado por trozos de marga. Fósiles escasísimos.

Equinodermos

Lagénidos

Lituolidae?

Thaumatoporella parvovesiculífera

Lias medio-superior-Jurásico

20932

25-37 AD-BA 171 L

El residuo de levigación está formado por trozos de marga. Fósiles escasísimos.

Se determinan:

Radiolarios

Ostrácodos

Lenticulina sp.

Edad indeterminada

25-37 AD-BA 172 L

El residuo de levigación está formado por trozos de marga.

Se determinan:

tubos calizos de Algas

Ostrácodos (muy raros)

Edad indeterminada

25-37 AD-BA 173 L

El residuo de levigación está formado por trozos de marga. Fósiles muy escasos.

20932

Se determinan:

Lenticulina sp.

Moluscos

Equinodermos

Edad indeterminada

25-37 AD-BA 174 L

El residuo de levigación está formado por trozos de marga.

Se determinan:

Globotruncana elevata

Globotruncana linneiana

Globotruncana conica

Globotruncana fornicata

Campaniense

25-37 AD-BA 175 L

El residuo de levigación está formado por trozos de marga y de caliza.

Se determinan:

tubos calizos de Algas

Edad indeterminada

20932

25-37 AD-BA 176 L

El residuo de levigación está formado por trozos de marga.

Se determinan:

tubos calizos de Algas
Ticinella roberti
Hedbergella trocoidea
Gyroidinoides gracillima
Gaudryina aff. dividens
Glomospira sp.

Albiense

25-37 AD-BA 177 T

Micrita de aspecto lacustre.

Ostrácodos
Gasterópodos

Edad indeterminada

25-37 AD-BA 178 L

El residuo de levigación está formado por trozos de marga:

20932

20932

Se determinan:

25-37 AD-BA 181 L

tubos calizos de Algas

El residuo de ~~Radiolaria~~ ~~ión~~ está formado por trozos
de marga. Edad indeterminada

Se determinan:

25-37 AD-BA 179 L

~~Pseudotextularia elegans fructicosa~~
El residuo de levigación está formado por trozos
de marga arenosa. ~~Globotruncana stuarti~~
~~Globotruncana formicata~~

Se determinan: ~~Globotruncana conica~~tubos calizos de AlgasEdad indeterminada25-37 AD-BA 182 T25-37 AD-BA 180 L

El residuo de levigación está formado por trozos
de marga. ~~Globigerinas~~
~~Globorotalias (Truncorotalias)~~

Se determinan:

Paleoceno Eoceno inferior

Globorotalia formosa gracilis

25-37 AD-BA 183 T Globigerina soldadoensis angulosas

Globorotalia formosa

Biomicrota de Globotruncanas.

Cuisiense

20932

Heterohelícidos

Globigerina (G. cf. rugosa)

Globotruncana cf. stuarti

Cretácico superior (Maestrichtiense)

25-37 AD-BA 184 L

El residuo de levigación está formado por trozos de marga.

Se determinan:

Globotruncana linneiana

Globotruncana ventricosa

Globotruncana calciformis

Globotruncana fornicata

Campaniense superior-Maestrichtiense inferior

25-37 AD-BA 186 L

El residuo de levigación está formado por trozos de marga.

La microfauna es una mezcla de formas del Lutecien se (Truncorotaloides topilensis, Globorotalia bullbrooki, Globorotalia bolivariana,), del Priaboniense superior-Oligoceno (Globigerina rohri, Bulimina palmerae,...) y del Mioceno (Virgulina schreibersiana, Bolivina arta ,

Mina Japona 990

20932

D

25-37-AD-BA-185.-Clasificación: Cuarzo-diabasa albitizadaTextura: Subofítica de grano fino a medioComposición mineral:

m. principales: plagioclasa (albita-oligoclasa), anfíbol (actinolita-hornblenda).

m. accesorios: prehnita, cuarzo, m. metálico (magnetita-ilmenita), clorita, apatito, carbonato, sericita, feldespato potásico.

Observaciones: Plagioclasa (albita-oligoclasa) en cristales tabulares alterados a sericita. El componente máfico está transformado por completo en anfíbol verde (actinolita-hornblenda) y en clorita, desprendiéndose magnetita pulverulenta. Intercrecimientos micrográficos entre cuarzo y feldespato potásico-Prehnita muy abundante sustituyendo a las plagioclases y rellenando cavidades. Cuarzo intersticial. Mineral metálico (ilmenita o magnetita) en largos cristales. Apatito, frecuente, en secciones aciculares y exagonales. Carbonato escaso.

La plagioclasa originalmente más cálcica ha sufrido un incremento de sodio pasando a oligoclasa sódica o albita.

20932

Globoquadrina dehiscens,).

25-37 AD-BA 187 L

El residuo de levigación está formado por trozos de caliza arcillosa arenosa. Fósiles mal conservados.

Se determinan:

Globotruncana fornicata

Globotruncana linneiana

Senonense

25-37 AD-BA 188 T

Micrita algo arenosa.

Globigerinas

Anomalínidos

Heterohelícidos

Globorotalidos

Paleoceno (probable Danense)

25-37 AD-BA 189 T

Biopelmicricrita con filamentos.

20932

Lagénidos

Moluscos

Equinodermos

Dogger

25-37 AD-BA 190 L

El residuo de levigación contiene abundante yeso.

Se determinan:

tubos calizos de Algas

Gasterópodos

Ammonia beccari

Helvetiense-Plioceno

25-37 AD-BA 191 L

El residuo de levigación está formado por trozos de calizas margosas algo arenosas. Los restos fósiles son escasísimos y se encuentran en pésimo estado de conservación.

20932

Se determinan:

Globigerina sp.

Edad indeterminada

25-37 AD-BA- 192 T

Biomierita.

Radiolarios

Saccocoma

Lagénidos

Ostrácodos

Globochaete alpina

Eothrix alpina

Stomiosphaera

Moluscos

Equinodermos

Titónico

25-37 AD-BA 193 L

El residuo de levigación está formado por trozos de marga. Los fósiles son escasos.

20932

Se determinan:

tubos calizos de Algas

Hedbergella amabilis

Biticinella breggiensis

Albiense superior

(puede ser más moderno con resedimentación).

25-37 AD-BA 194 T

Biomicrota.

Radiolarios

Globochaete alpina

Ostrácodos

Lagénidos

Ammonites

Stomiosphaera minutissima

Eothrix alpina

Saccocoma

Moluscos

Equinodermos

Titónico

20932

25-37 AD-BA 195 L

El residuo de levigación está formado por trozos de marga.

Se determinan:

tubos calizos de Algas

Rotalipora apenninica

Planomalina buxtorfi

Praeglobotruncana stephani

Hedbergella planispira

Cenomanense inferior

25-37 AD-BA 196 L

El residuo de levigación está formado por trozos de marga.

La microfauna es una mezcla del Luteciense (Globo rothalia bullbrooki, Globorotalia centralis, Globigerina sp., Nummulites sp.,) y del Albense-Cenomanense (Hedbergella planispira, Globigerinelloides bentonensis, Hedbergella trochoidea,).

20932

25-37 AD-BA 197 T

Biomicrota.

Naunoconus steinmanini

Radiolarios

Ostrácodos

Espículas

Radiolas de Equinodermos

Naunoconus cf. colomi

Neocomiense

25-37 AD-BA 198 L

El residuo de levigación está formado por trozos de marga.

Se determinan:

Globotruncana fornicata

Globotruncana elevata

Globotruncana stuartiformis

Campaniense



20932

25-37 AD-BA 199.L

El residuo de levigación está formado por trozos de arenisca.

Se determinan:

Uvigerina mexicana
Globigerina tripartita
Bulimina palmerae
Globigerinita dissimilis
Globigerina venezuelana
Cassidulina subglobosa horizontalis
Clavulinoides szaboi
Plectofrondicularia inaequalis.

Oligoceno-Aquitaniense

20932

25-37 AD-BA 299T-

Pelmicrita

Se observan:

Characeas

Edad indeterminada

(posible Mioceno terminal-
-Plioceno)

25-37
AD BG

Toda 'T'

20932

25-37 AD-BG 401.-

L.T. Biomicrita de "filamentos" junto con Radiolarios, fragmentos de Equinodermos, Lamelibranquios, algo de esparita en vetas, de óxido de hierro en partículas.

Lías-Dogger Probable Lías *sup*

25-37 AD-BG 402.-

L.T. Biomicrita arcillosa, en parte recristalizada, finamente arenosa, con abundantes restos de "filamentos", Radiolarios junto con Ostrácodos, Lingulina. Algo de óxido de hierro en partículas.

Lías-Dogger Probable Lías *sup*

25-37 AD-BG 403.-

L.T. Intrabiomicrita recristalizada con los intraclastos semiborrados por la recristalización, y abundantes restos de "filamentos", Radiolarios, espículas, fragmentos de Equinodermos y de Lamelibranquios, Ostrácodos. Algo de óxido de hierro en partículas.

Lías-Dogger Probable Lías *sup*

25-37 AD-BG 404.-

L.T. Biomicrita arcillosa con abundantes "filamentos" junto con escasos restos de Radiolarios, Lagénidos. Algo de óxido de hierro en partículas.

Lías-Dogger Probable Lías *sup*

20932

25-37 AD-BG 405.-

L.T. Biomicrita de "filamentos" junto con Ostrácos, Radiolarios. Frecuente óxido de hierro en partículas.

Lías-Dogger Probable Dogger

25-37 AD-BG 406.-

L.T. Biomicrita de "filamentos", Radiolarios junto con Ostrácodos, fragmentos de Lamelibranquios y de Equinodermos.

Lías-Dogger Probable Dogger

25-37 AD-BG 407.-

L.T. Biomicrita de "filamentos" junto con frecuentes placas de Equinodermos, Radiolarios, Ostrácodos, ~~Lingulina~~ gr. ~~pupa~~, fragmentos de Lamelibranquios.

Lías-Dogger Probable Dogger

20932

Monroe 989

El residuo de levigación está formado por trozos de marga.

Globigerinoides trilobus
Globorotalia acrostoma
Globigerinoides bisphaericus
Praeorbulinas
Globoquadrina altispira
Globigerina venezuelana

25-37 AD-GM 302 L

Se determinan:

Globotruncana linneiana
Heterohelix globulosa
Globotruncana fornicata

(probable Santoniense-Campaniense)

20932

25-37 AD-GM 303 L

El residuo de levigación está formado por trozos de caliza arcillosa.

Se determinan:

Lingulina ex. gr. pupa

Lingulina ex. gr. tenera

Lenticulina acutiangulata

Pliensbachiense-Toarciense

25-37 AD-GM 304 T

Caliza arcillosa.

Se determinan:

Ostrácodos

Equinodermos

Globigerinas

Bolivinas

Ophthalmediidos

Terciario

20932 20932

25-37 AS-GM 305

25-37 AD-GM 308 T

Se determinan:

Se determinan:

Ostrácodos
~~Equinodermos~~
Globigerinas
~~Globigerinas~~
Ophthalmidiidos
Bolivinas
~~Ophthalmidiidos~~ Terciario EOC sup.
Austrotrillina

25-37 AD-GM 306 T Posible Priaboniense-Mioceno inferior

Se determinan:

25-37 AD-GM 309 L

Ostrácodos
El residuo de levigación está formado por trozos
~~Equinodermos~~
de caliza arcillosa, algo arenosa. Fósiles muy mal con
servados.
Bolivinas
Aphthalmidiidos

Se determinan: Globigerinas

~~Ostrácodos~~ Terciario EOC sup.
Globigerina cf. rohri

25-37 AD-GM 307 T Chilostomella sp.

Se determinan: Probable Priaboniense superior-Oligoceno

Moluscos

25-37 AD-GM 310 T

Ostrácodos
Se determinan: Globigerinas
Ophthalmidiidos
~~Radiolarios~~
Anomalínidos

Terciario EOC sup.

20932

Ophthalmiidos
Globigerinas
Nodosarias
Bolivinas
¿Austrotrillina?
Equinodermos

posible Priaboniense-Mioceno inferior

25-37 AD-GM 311 †

Se determinan:

Equinodermos
Ostrácodos
Globigerinas
Ophthalmiidos

Terciario

Eoc. 104

25-37 AD-GM 312 †

Se determinan:

Gasterópodos
Ostrácodos
Miliólidos

Globigerinas

Ophthalmitidos

Textuláridos

Terciario

600 mg

25-37 AD-GM 313 L

El residuo de levigación está formado por trozos de caliza arcillosa. Fósiles mal disgregados siendo difícil su clasificación.

Se determinan:

Globigerina venezuelana

Sphaeroidina bulloides

Chilostomella aff. ovoidea

Nonion sp.

Uvigerina sp.

Vulvulina spinosa

Eoceno medio-Mioceno

25-37 AD-GM 314 T

Se determinan:

Briozoos

20932

Equinodermos
Amphisteginas
Lepidocyclinas
Rotálidos
Operculinas
Heterosteginas
Sphaerogypsinas
Bolivinas

Oligoceno-Mioceno inferior

25-37 AD-GM 315 r

Se determinan:

Equinodermos
Melobesias
Amphisteginas
Operculinas
Rotálidos
Heterosteginas
Lepidocyclinas
Briozoos
Oligoceno-Mioceno inferior

20932

25-37 AD-GM 316 T

Se determinan:

Moluscos

Radiolarios

Ostrácodos

Ophthalmidiidos

Lagénidos

Globigerinas

Terciario

EDC

25-37 AD-GM 317 T

Se determinan:

Globigerinas

Lagénidos

Ophthalmidiidos

Bolivinas

Anomalinidos

Terciario

EDC

20932

25-37 AD-GM 318 T

Se determinan:

Equinodermos
Textularidos
Ophthalmidiidos
Amphisteginas
Heterosteginas

Terciario

Eoc. sup.

25-37 AD-GM 319 T

Se determinan:

Equinodermos
Ostrácodos
Globigerinas
Ophthalmidiidos
Bolivinas

Terciario

Eoc. sup.

25-37 AD-GM 320 L

El residuo de levigación está formado por trozos de caliza margosa. Fósiles mal conservados.

20932

Se determinan:

Chilostomella oolina

Globoquadrina sp.

Valvulineria aff. bradyana

¿Globigerinoides ??

Terciario
probable Mioceno-inferior

25-37 AD-GM 321 L

El residuo de levigación está formado por trozos de caliza arcillosa. Fósiles muy mal conservados.

Se determinan:

Globigerina venezolana

Uvigerina cf. mexicana

Globigerina spp.

Eoceno superior-Mioceno inferior

25-37 AD-GM 322 T

Se determinan:

Equinodermos

Lithothamnium

Lepidocyclina

Heterosteginas

Amphisteginas

20932

Globigerinas

Rotálidos

Operculinas

Oligoceno-Mioceno inferior

25-37 AD-GM 323 L

El residuo de levigación está formado por trozos de caliza margosa.

Fósiles en muy mal estado de conservación.

Se determinan:

Eponides sp.

Globigerina sp.

Terciario

25-37 AD-GM 324 T

Se determinan:

Equinodermos

Melobesias

Amphisteginas

Textuláridos

20932

Operculinas

Lepidocyclinas

Nummulites

Oligoceno

25-37 AD-GM 325 L

El residuo de levigación está formado por trozos de marga arenosa.

La fauna es una mezcla de la del Senonense y del Lu-teciense, aunque podría tratarse de terrenos incluso del Mioceno, pues se observan algunas formas aplastadas que quizás correspondan al género Globigerinoides.

25-37 AD-GM 326 T

Se determinan:

Lithothamnium

Amphisteginas

Miliólidos

Discocyclinas

Nummulites

Rotalia

Eoceno

(probable inferior-medio)

20932

25-37 AD-GM 327 T

Se determinan:

Equinodermos

Archaeolithothamnium

Textuláridos

Nummulites

Discocyclinas

Eoceno

25-37 AD-GM 328 L

El residuo de levigación está formado por trozos de caliza algo arcillosa arenosa.

Se determinan:

Equinodermos

Nummulites sp.

probable Eoceno

25-37 AD-GM 329 T

Se determinan:

Equinodermos

Nummulites

Miliólidos

20932

Sphaerogypsinae

Rotalia

Dentalium

Alveolinae

Eoceno inferior-medio

25-37 AD-GM 330 T

Se determinan:

Anomalínidos

Nummulites (entre ellos N. aff. millecaput A)

Orbitolites ex. gr. complanatus

Alveolinae

Miliólidos

probable Luteciense

25-37 AD-GM 331 T

Se determinan:

Anomalínidos

Nummulites

Dentalium

Alveolinae (¿grupo munieri?)

20932

¿Assilinas?

Melobesias.

Equinodermos

probable Luteciense

25-37 AD-GM 332 T

Se determinan:

Equinodermos

Nummulites (entre ellos N. aff. millecaput A)

Miliólidos

Cuvillierina?

Alveolinas

Orbitolites ex. gr. complanatus

probable Luteciense

25-37 AD-GM 333 L

El residuo de levigación está formado por trozos de marga arenosa. Fósiles muy escasos.

Se determinan:

Moluscos

oogonios de Characea (¿Maedleriella)

Equinodermos

Nummulites

Eoceno

(o más moderno con resedimentación)

25-37 AD-GM 334 T

Se determinan:

Lithothamnium

Briozoos

Globigerinas

Discocyclinas

Rotalia

Miliólidos

Operculinas

Eoceno

25-37 AD-GM 335 T

Se determinan:

Equinodermos

Briozoos

Rotalias

Distichoplax

20932

Nummulites

Lithothamnium

Eoceno

25-37 AD-GM 336 L

El residuo de levigación está formado por trozos de
marga arenosa.

Se determinan:

Bolivinoides miocenicus

Bolivina arta

Spiroplectammina carinata

Bulimina buchiana

Uvigerina aff. schwageri

Discorbis orbicularis

Mioceno superior

(probable Tortoniense)

25-37 AD-GM 337 T

Se determinan:

espículas

Ostrácodos

20932

Lagénidos

Cayeuxia

Ataxophagmiidos

Thaumatoporella parvovesiculifera

Kimmeridgiense-Portlandiense

(muy probable Kimmeridgiense) o Lias

X 25-37 AD-GM 338 T

Se determinan:

Anomalínidos

Lagénidos

Globigerinas

Terciario

Eoan

25-37 AD-GM 339 L

El residuo de levigación está formado por trozos de caliza arcillosa.

Se determinan:

Globigerinoides sacculifer

Globorotalia pseudobesa

20932

Globigerinoides pyramidalis

Globoquadrina conglomerata

Uvigerina auberiana

Globorotalia praescitula

Globigerinoides ruber

Mioceno

(inferior probable)

25-37 AD-GM 340 L

El residuo de levigación está formado por trozos de marga.

Se determinan:

Radiolarios

Ammodiscus sp.

Edad indeterminada

25-37 AD-GM 341 L

El residuo de levigación esta formado por trozos de marga.

Se determinan:

tubos calizos de Algas

Globotruncana conica

20932

Globotruncana fornicata

Globotruncana stuartiformis

Globotruncana aff. elevata

Campaniense superior-Maastrichtiense inferior

25-37 AD-GM 342 L

El residuo de levigación está formado por trozos de marga.

Se determinan:

tubos calizos de Algas

Radiolarios

Ostrácodos

Lenticulina spp.

Edad indeterminada

25-37 AD-GM 343 L

El residuo de levigación está formado por trozos de marga.

Se determinan:

tubos calizos de Algas

20932

Radiolarios

Edad indeterminada

25-37 AD-GM 344 T

Se determinan:

Entroques

espículas

Frondicularia

probable Pliensbachienne

25-37 AD-GM 345 T

Se determinan:

Orbitopsella

Dasycladaceas

Lias medio

25-37 AD-GM 346 T

Se determinan:

Ostrácodos

Ataxophragmiidos

Traumatoporella parvovesiculifera

posible Kimmeridgiense Lias

20932

25-37 AD-GM 347 T

Se determinan:

espículas

Gasterópodos

¿Feurtillia?

¿Jurásico superior?

25-37 AD-GM 348 T

Se determinan:

Ostrácodos

¿Globochaete alpina?

¿Jurásico superior?

25-37 AD-GM 349 L

El residuo de levigación está formado por trozos de marga.

Se determinan:

Lamelibranchios

Gasterópodos

Equinodermos

Ostrácodos

20932

Radiolarios

Marginulina sp.

Lenticulina spp.

Ammodiscus tenuissimus

posible Cretáceo inferior

25-37 AD-GM 350 L

El residuo de levigación está formado por trozos de caliza arcillosa. Fósiles mal disgregados.

Se determinan:

Globigerinta dissimilis

Globigerina spp.

Eoceno medio-Mioceno

25-37 AD-GM 351 T

Se determinan:

Lingulina tenera
Moluscos

Glomospira

Lágénidos

Edad indeterminada

Mar medio

20932

25-37 AD-GM 352 T

Se determinan:

Equinodermos
espículas
Ammodiscidos
Glomospira
Lingulina grupo pupae
Vidalina cf. martana

Pliensbachienne

(¿Domerienne?)

25-37 AD-GM 353 T

Caliza dolomítica con restos muy borrosos debido a la dolomitización.

Infralías-Lias inferior

25-37 AD-GM 354 V

El residuo de levigación está formado por trozos de caliza arcillosa algo arenosa.

Se determinan:

tubos calizos de Algas
Ostrácodos
espículas

Edad indeterminada

20932

25-37 AD-GM 355 T

Se determinan:

Moluscos

Equinodermos

espículas

Glomospira

¿Vidalina cf. martana?

Plumobachianse

¿Domerianse??

25-37 AD-GM 356 L

El residuo de levigación está formado por trozos de marga.

Se determinan:

Radiolarios

Lenticulina sp.

Edad indeterminada

25-37 AD-GM 357 L

El residuo de levigación está formado por trozos de marga.

20932

Se determinan:

Globorotalia formosa gracilis

Globorotalia aragonensis

Globigerina soldadoensis

Globorotalia formosa

Cuisiense

25-37 AD-GM 358T

El residuo de levigación está formado por trozos de caliza margosa.

Se determinan:

Radiolarios

Edad indeterminada

25-37 AD-GM 359T

Se determinan:

Ostrácodos

Radiolarios

Nannoconus

Neocomiense

20932

25-37 AD-GM 360 T

Se determinan:

Textuláridos

Ataxophragmiidos

Rectocyclammia cf. chouberti

Rectocyclammia cf. arrapidensis

probable Kimmeridgiense

25-37 AD-GM 361 L

El residuo de levigación está formado por trozos de marga. La microfauna es una mezcla de la del Albien-se (*Hedbergella delrioensis*, *Hedbergella planispira*, *Ticinella roberti*, *Dictyomitra*,) la más abundante con diferencia, de la del Campaniense-Maastrichtiense (*Globotruncana grupo stuarti*) y de la del Luteciense (*Globorotalia pseudotopilensis*, *Globorotalia centralis*,).

25-37 AD-GM 362 L

El residuo de levigación está formado por trozos de caliza arcillosa. Los fósiles se encuentran en pésimo estado de conservación.

20932

Se determinan:

Ostrácodos

Globigerina sp.

Cibicides sp.

Terciario

25-37 AD-GM 363 L

El residuo de levigación está formado por trozos de marga.

Se determinan:

Globorotalia praescitula

Praeorbulina glomerosa

Praeorbulina glomerosa curva

Globigerinoides bisphaericus

Burdigaliense superior

25-37 AD-GM 364 L

El residuo de levigación está formado por trozos de marga.

20932

Se determinan:

Globorotalia praescitula
Globorotalia pseudobesa
Globigerinoides trilobus
Globoquadrina sp.
Globigerinoides bisphaericus
Praeorbulinas

Burdigaliense superior-Langhiense inferior

25-37 AD-GM 365 T

Se determinan:

Globoquadrinas
Globigerinas
Globigerinoides
Orbulínidos (probable O. universa)

posible Langhiense

25-37 AD-GM 366 L

El residuo de levigación está formado por trozos
de marga.

20932

Se determinan:

Globigerinoides bisphaericus
Praeorbulina ex. gr. glomerosa
Globigerinoides trilobus
Uvigerina auberiana
Globoquadrina sp.

Burdigaliense superior-Langhiense inferior

25-37 AD-GM 367 L

El residuo de levigación está formado por trozos de marga.

Se determinan:

Globigerinoides trilobus
Globigerinoides bisphaericus
Praeorbulina glomerosa circularis
Praeorbulina aff. glomerosa curva

Burdigaliense superior-Langhiense inferior
(probable Burdigaliense superior)

25-37 AD-GM 368 F

Oosparita.

Gasterópodos
Lituólidos

Edad indeterminada

20932

25-37 AD-GM 369

Dolosparita.

Edad indeterminada

25-37 AD-GM 370 L

El residuo de levigación está formado por trozos de caliza arcillosa.

Se observan tubos calizos de Algas.

Edad indeterminada

25-37 AD-GM 371 T

Se determinan:

Equinodermos

Ostrácodos

Lagénidos

} Lias?

Edad indeterminada

25-37-AD-KA-17.-

LEV. Formado por granos de caliza de color blanco. No se observan restos fósiles.

Triásico

25-37-AD-KA-20.-

LEV. Formado por granos de caliza de color amarillento. No se observan restos fósiles.

Triásico

25-37-AD-KA-35.-

LEV. Formado por granos de caliza de color amarillo, verdoso, de aspecto brechoide. No se observan restos fósiles.

Triásico

25-37-AD-KA-46.-

LEV. Formado por granos de pizarra y arenisca de color rojizo con esquistosidad limonitizada. No se observan restos fósiles.

Triásico

25-37-AD-KA-48.-

LEV. Formado por granos de arenisca de color amarillo, verdoso con limonita. No se observan restos fósiles.

Triásico

25-37-AD-KA-56.-

LEV. Formado por granos de arenisca de color violado con limonita, escasa esquistosidad. No se observan restos - fósiles.

Triásico

20932

25-37-AD-VE-201T-

Biopelsparita.

Cuvillierina

Alveolinas

Ataxophrágmidos

Miliólidos

Anomalínidos

Melobesias

Nummulitidae

Moluscos y Equinodermos

Eoceno inferior-medio (probable Ypreciense)

25-37-AD-VE-212.F

Se determinan:

Equinodermos

Bolivinas

Heterosteginas (abundantes)

Globigerinas

probable Mioceno

25-37-AD-VE-213.-T

Se determinan:

¿Archaeolithothamnium?

Equinodermos

Nummulites

Anomalínidos

Amphisteginas

20932

①

25-37 AD-VE 211L

El residuo de levigación está formado por trozos de marga.

Se determinan:

Uvigerina alsatica

Globigerinita dissimilis

Globigerina rohri

Globigerina venezuelana

Globorotalia aff. Kugleri

Oligoceno-Aquitaniense (bajo)

25-37 AD-VE 210L

El residuo de levigación está formado por trozos de marga.

Se determinan:

Globigerinita dissimilis

Globigerina rohri

Bolivina semistriata

Bulimina alsatica

Uvigerina auberiana

Oligoceno-Aquitaniense (bajo)

Operculinas

Eoceno

(probable resedimentación)

25-37-AD-VE-214.F

Se determinan:

Equinodermos

Melobesias

Amphisteginas

Heterosteginas

Rotalia

Bolivinas

Terciario25-37-AD-VE-215.L

El residuo de levigación está formado por trozos de marga arenosa. Fósiles mal conservados.

Se determinan:

Vulvulina pennatula

Stilostomella nuttalli

Uvigerina mexicana

Operculina sp.

Spiroplectammina aff. carinata

Globigerina sp.

Eoceno superior-Mioceno inferior25-37-AD-VE-216.F

Se determinan:

Globigerinas

Nodosaria

Terciario*Paleoceno*

20932

25-37-AD-VE-217.†

Se determinan:

Ostrácodos

Lagénidos

Globigerinas

Terciario*Paleoceno*25-37-AD-VE-218.†

Se determinan:

Briozoos

Equinodermos

Amphisteginas

Heterosteginas

Terciario*Mioceno*25-37-AD-VE-219.†

El residuo de levigación está formado por trozos de marga.

Se determinan:

Globigerinoides ruber

Globoquadrina dehiscens

Globorotalia praescitula

Globigerinoides bisphaericus

Globigerinoides trilobus

Praeorbulinas

Burdigaliense superior-Langhiense inferior25-37-AD-VE-220.†

El residuo de levigación está formado por trozos de caliza. Fósiles mal conservados.

Se determinan:

Globigerina spp.

Globorotalia praescitula

20932

*Globigerinoides bisphaericus*Burdigaliense superior-Langhiense inferior25-37-AD-VE-221.↓

El residuo de levigación está formado por trozos de marga.

Se determinan:

*Globigerinoides bisphaericus**Globigerinoides trilobus**Praeorbulina glomerosa circularis**Praeorbulina glomerosa**Praeorbulina glomerosa curva*Burdigaliense superior25-37-AD-VE-222.†

Se determinan:

*Equinodermos**Melobesias**Amphisteginas**Globigerinas**Anomalínidos*¿*Operculina*?¿¿*Lepidocyclina*??probable Oligoceno-Mioceno inferior25-37-AD-VE-223.†

Se determinan:

*Equinodermos**Amphisteginas**Textuláridos**Anomalínidos**Heterosteginas*

¿Globigerinoides?

¿Lepidocyclina?

¿Miogypsina?

probable Oligoceno superior-Mioceno inferior

25-37-AD-VE-224.7

Se determinan:

Melobesias

Bolivinas

Globigerinas

Terciario

Eocene

25-37-AD-VE-225.L

El residuo de levigación está formado por trozos de marga.

Se determinan:

Heterohelix globulosa

Globotruncana fornicata

Globotruncana calciformis

Globotruncana aff. rosetta

Campaniense-Maastrichtiense

(probable Campaniense)

25-37-AD-VE-226.T

Se determinan:

Equinodermos

Textuláridos

Lagénidos

Globigerinas

Globorotalias

Bolivinas

Operculina

Terciario

Eocene

25-37-AD-VE-227.L

El residuo de levigación está formado por trozos de marga.

Se determinan:

Globotruncana stuarti

Globotruncana stuartiformis

Globotruncana contusa.

Maastrichtiense

25-37-AD-VE-228.F

Se determinan:

Melobesias

Globigerinas

Miliólidos

Bolivina

Terciario

Eocene

25-37-AD-VE-229.F

Se determinan:

Amphisteginas

Heterosteginas

Anomalínidos

Globigerinas

Terciario

Eocene

25-37-AD-VE-230.F

Se determinan:

Melobesias

Miliólidos

Operculina?

Austrotrillina

Amphistegina

probable Oligoceno-Mioceno inferior

Eocene sup.

20932

25-37-AD-VE-231.F

Se determinan:

Melobesias

Amphisteginas

Lepidocyclinas

Miogypsinas?

Oligoceno-Mioceno inferior

(probable Oligoceno superior-Mioceno inferior)

25-37-AD-VE-232.F

Se determinan:

Equinodermos

Lepidocyclina

Operculinas

Dentalina

Oligoceno-Mioceno inferior25-37-AD-VE-233.L

El residuo de levigación está formado por trozos de marga.

Se determinan:

Globotruncana linneiana

Globotruncana calciformis

Globotruncana fornicata

Heterohelix globulosa

Campaniense-Maastrichtiense

(probable Campaniense)

25-37-AD-VE-234.L

El residuo de levigación está formado por trozos de marga.

Se determinan:

tubos calizos de Algas

20932

Rotalipora ticinensis
 Hedbergella planispira
 Ticinella roberti
 Planomalina buxtorfi
 Rotalipora apenninica

Cenomaniense inferior

25-37-AD-VE-235.F

Blomicrita.

Ostrácodos
 Ataxophrágmiidos
 Glomospira
 Solenopora
 Labyrinthina recoarensis
 Orbitopsella cf. praecursor
 Lituolidae
 Moluscos

Lías medio-superior (Lías medio probable)

25-37-AD-VE-236.L

El residuo de levigación está formado por trozos de marga arenosa.

Se determinan:

tubos calizos de Algas
 Radiolarios
 Ostrácodos

Edad indeterminada

25-37-AD-VE-237.L

El residuo de levigación está formado por trozos de marga arenosa.

Se determinan:

20932

tubos calizos de Algas

Ostrácodos

Edad indeterminada25-37-AD-VE-238.†

Pelmicrosperita

Glomospira

Vidalina martana

Lagénidos (Lingulina entre ellos)

Espículas

Moluscos y Equinodermos

Lías medio (Domeriense probable)25-37-AD-VE-239.↓

El residuo de levigación está formado por trozos de marga.

Se determinan:

Radiolarios

Ostrácodos

Equinodermos

Lenticulina sp.

Edad indeterminada25-37-AD-VE-240.†

Biomicrorita con pelets

Espículas

Radiolarios

Filamentos

Moluscos

Toarciense-Callovienne25-37-AD-VE-241.†

Biopelmicrorita

20932

Radiolarios

Espículas

Filamentos

Moluscos y Equinodermos

Toarciense-Calloviense25-37-AD-VE-242.-T

Gravelsparita.

Ostrácodos

Ataxophrágmidos

Moluscos y Equinodermos

Edad indeterminada25-37-AD-VE-243.1

El residuo de levigación está formado por trozos de caliza margosa.

Se determinan:

Radiolarios

Edad indeterminada25-37-AD-VE-244.1

El residuo de levigación está formado por trozos de caliza arcillosa arenosa.

Se determinan:

Globigerina venezolana

Uvigerina auberiana

Globoquadrina dehiscens

Pleurostomella sp.

Globigerinita dissimilis

Globigerina sp. G. aff. rohri

Oligoceno superior-Mioceno inferior

20932

25-37-AD-VE-245.L

El residuo de levigación está formado por trozos de marga.

Se determinan:

tubos calizos de Algas

Lingulina tenera (rara)

Lías medio-superior

25-37-AD-VE-246.F

Intrasparita.

Lingulina gr. tenera

Vidalina martana

Espículas

Ostrácodos

Glomospira

Moluscos y Equinodermos

Lías medio (Domeriense probable)

25-37-AD-VE-247.L

El residuo de levigación está formado por trozos de caliza arcillosa.

Se determinan:

tubos calizos de Algas

Ostrácodos

Lingulina pupa

Lingulina tenera

Lías medio-superior

25-37-AD-VE-248.T

Biomicrorita repleta de placas de Equinodermos.

Ostrácodos

Lagénidos (Lingulina entre ellos)

Glomospira

20932

Moluscos

La microfacies parece Lías medio25-37-AD-VE-249.L

El residuo de levigación está formado por trozos de marga.

Se determinan:

tubos calizos de Algas

Ticinella roberti

Hedbergella planispira

Albiense

25-37-AD-VE-250.L

El residuo de levigación está formado por trozos de marga. Los fósiles están mal conservados.

Se determinan:

espículas

Radiolarios

Globigerinoides trilobus

Globorotalia praescitula

Praeorbulinas

Burdigaliense superior-Langhiense inferior

25-37-AD-VE-251.L

El residuo de levigación está formado por trozos de marga.

Se determinan:

tubos calizos de Algas

Gasterópodos

Equinodermos

Ostrácodos

Lenticulina sp.

Radiolarios

Edad indeterminada

20932

25-37-AD-VE-252.L

El residuo de levigación está formado por trozos de areniscas.

Se determinan:

Globigerina venezuelana
 Globoquadrina dehiscens
 Globigerinita dissimilis
 Cassidulina laevigata
 Globorotalia acrostoma
 Globigerina rohri

Aquitaniense

25-37-AD-VE-253.L

El residuo de levigación está formado por trozos de marga. Fósiles mal conservados.

Se determinan:

Uvigerina barbatula
 ¿Globigerinoides?
 Bolivina aff. scalprata miocenica
 Valvulineria complanata
 Pleurostomella sp.

Oligoceno-Mioceno

posible Mioceno

25-37-AD-VE-254.I

Se determinan:

Melobesias
 Amphisteginas
 Discocyclus (entre ellas D. aff. sella)
 Nummulites
 Globorotalia
 Operculina

probable Luteciense

20932

25-37-AD-VE-255.4

Se determinan:

Archaeolithothamnium

Globigerinas

Nummulites aff. aturicus

probable Luteciense25-37-AD-VE-256.4

Se determinan:

Moluscos

Miliólidos

Sphaerogypsina

Distichoplax

Discocyclina

Nummulites

Rotalia viennoti

Globigerinas

Luteciense Xpres - Lund25-37-AD-VE-257.4

Se determinan:

Melobesias

Amphisteginas

Nummulites (rotos)

Eoceno-Oligoceno

(o más moderno con resedimentación)

25-37-AD-VE-258.4

El residuo de levigación está formado por trozos de marga. Hay resedimentación del Cretácico.

Se determinan:

Globigerina venezuelana

Globigerinita dissimilis

20932

Globigerina rohri
Uvigerina mexicana
Stilostomella nuttalli
Bulimina palmerae
Uvigerina auberiana

probable Oligoceno

25-37-AD-VE-259. I

Se determinan:

Globigerinas
Amphisteginas

Terciario

25-37-AD-VE-260. I

El residuo de levigación está formado por trozos de marga.

Se determinan:

Globigerinita dissimilis
Globigerina venezuelana
Stilostomella nuttalli
Globigerina rohri
Uvigerina auberiana

probable Oligoceno

25-37-AD-VE-261. I

Se determinan:

Melobesias
Amphisteginas
Heterosteginas?

Terciario

25-37-AD-VE-262. I

El residuo de levigación está formado por trozos

20932

de marga.

Se determinan:

Cibicides grimsdalei
Vulvulina spinosa
Globigerina venezuelana
Globigerinita dissimilis
Globigerina rohri

probable Oligoceno

25-37-AD-VE-263. **L**

El residuo de levigación está formado por trozos de marga.

Se determinan:

Globigerinita dissimilis
Cassidulina laevigata
Uvigerina mexicana
Uvigerina barbatula
Uvigerina auberiana
Globigerina aff. rohri
Operculina sp.

Oligoceno superior-Mioceno inferior

25-37-AD-VE-264.-T

2

Se determinan:

Archaeolithothamnium
Nummulites (entre ellos *N.aff. aturicus*)
Sphaerogypsina
Discocyclina
Rotalia viennoti
Miliólidos

Luteciense

25-37-AD-VE-265.-T

Se determinan:

20932

Briozoos

Nummulites

Rotalia aff. viennoti

Archaeolithothamnium

probable Luteciense25-37-AD-VE-266.-L

El residuo de levigación está formado por trozos de marga.

Se determinan:

Cassidulina laevigata

Globigerina venezuelana

Uvigerina auberiana

Globigerinita dissimilis

Uvigerina barbatula

Globorotalia obesa

Bolivina tortuosa

Oligoceno superior-Mioceno inferior

20932

0

25-37-AD-VE-267.-1

LEV. Resíduo formado por abundantes foraminíferos, placas calcáreas y granos de yeso. Se determinan: Globotruncana - stuartiformis, G. ventricosa, G. bulloides, G. elevata, G. arca, - G. fornicata, Hedbergellas, Gumbelina, Heterohelix striata, Textu laria elegans, Bigerina, Reussella.

Campaniense superior25-37-AD-VE-268.-1

LEV. Resíduo formado por fragmentos de margas blan quecina sin deshacer, frecuente yeso y abundantes restos. Se de-- terminan Globotruncana ventricosa, G. lapparenti, G. elevata, G.- fornicata, G. stuartiformis, Heterohelix striata, Hedbergella, - Gumbelina.

Campaniense superior25-37-AD-VE-270.-1

L.T. Micrita arcillosa, recristalizada, con óxido de hierro en partículas y "filamentos" finos y cortos.

Probable Lías medio - Sup.25-37-AD-VE-271.-1

LEV. Resíduo formado por fragmentos de marga sin - deshacer, fragmentos calizos, algo de cuervo, muy escasos restos- mal conservados de Lamelibranquios, Equinodermos, Lenticulina, -

20932

25-37-AD-VE-269

25-37-AD-BA-269.-

Stephanoceratido indeterminado.

Bajociense-Bathonienne

25-37-AD-BA-9.-

Phylloceras heterophyllum, Sow.

Toarciense.

25-37-AD-BA-12.-

Pseudoperisphinctes bakeriae (Sow)

Bathonienne-Oxfordienne

Kamptokephalites Kamptus (Buck)

Calloviense inferior

25-37-AD-BA-12.- (alto)

Holcophylloceras zignodianum (d'Orb).

Oxfordienne

20932

Ammodiscus, Algas. Frecuente óxido de hierro.

Indeterminada. Probable Jurásico

25-37-AD-VE-272.4

LEV. Resíduo formado por fragmentos de marga calcárea sin deshacer; fragmentos calizos, granos de cuarzo y escasos restos de Lingulina, Lenticulina, Lagenas, Equinodermos, Lamelibranquios.

Probable Jurásico

25-37-AD-VE-273.4

L.T. Biomierita recristalizada con abundantes "filamentos" junto con Radiolarios, Equinodermos, Lenticulina.

Jurásico

20932

COY (MURCIA)

25-37 AD-VE - 0003

Himalayites (Octagoniceras) octogonus (?) Uhlig

Valanginiense

La muestra 25-37 AD-VE - 0003, corresponde a la localidad de Coy, y en ella, no se observa, más que un ejemplar incompleto de Ammonites, que atribuímos con duda a la especie: Himalayites (Octagoniceras) octogonus Uhlig, y que, en el caso de que su de terminación pudiera hacerse con exactitud, indicaría una edad Neocomiense.

Elvira Informe 960

(v)

20932

HOJA 25 - 37 (COY)

MUESTRAS BA 31 á 79

HOJA 25-37 (COY)

25-37 ADBA 31 L

El levigado está formado por fragmentos de marga y abundantísimos restos fósiles mal conservados de Equínidos y Foraminíferos. Se clasifican Globoquadrina venezolana, G. rohri, Turbo-rootalia mayeri, T. nana y T. opima.

Oligoceno medio.

25-37 ADBA 32 L

El levigado está formado por fragmentos de marga y restos fósiles mal conservados de Ammodiscus, Radiolarios, Lenticulina, piezas de Ofiuras, Ostrácodos (Bairdia, Schuleridea, - Monoceratina).

Edad dudosa. Probable Malm.

25-37 ADBA 34 L

El levigado está formado por fragmentos de caliza microcristalina y no contiene restos fósiles reconocibles.

Edad indeterminada.

20932

25-37 ADBA 35_L

El levigado está formado por fragmentos de marga calcárea y contiene muy escasos fósiles mal conservados. Se reconocen Ostrácodos (Schuleridea) Dentalina y Radiolarios.

Edad muy dudosa. Posible Malm.

25-37 ADBA 36_L

El levigado está formado por fragmentos de marga blanca. Incluye frecuentes restos de Microcodium y muy escasos Radiolarios en calcita.

Edad indeterminada.

25-37 ADBA 37_T

Biomicrita con esparita, parcialmente recristalizada.- Se reconocen Crinoides, espículas, Lamelibranquios, Lenticulina gr. pupa y Verneuilina.

Pliensbaquiense-Toarciense. Probable Lías medio.

25-37 ADBA 38_L

El levigado está formado por fragmentos de marga calcárea limosa. Se reconocen restos escasos, muy mal conservados, de Crinoides, Citherelloidea, Astacolus primus y Lenticulina munsteri.

Toarciense,

20932

25-37 ADBA 39 T

Biomicrita con esparita y pelets, parcialmente recristalizada. Se reconocen espículas, Ammodiscus, Gaudryina, Ostrácodos, Crinoides, Glomospira y Lingulina gr. pupa.

Lías medio. Análogo 37.

25-37 ADBA 40 T

Biopelmicrita con esparita, algo recristalizada. Se reconocen restos de Crinoides, Lamelibranquios, espículas, Ostrácodos, Lingulina gr. pupa, Ammodiscus y Gasterópodos.

Lías medio. Análogo a 39.

25-37 ADBA 41 L

El levigado está formado por fragmentos de marca. Acompañan calcificaciones de Microcodium y muy escasos restos, muy mal conservados, de Ostrácodos, Radiolarios en pirita y piezas de Ofiuras.

Edad indeterminada; por geología de campo es Toarciense.

25-37 ABDA 42 T

Biomicrita con recristalización avanzada en microsparita. Se reconocen restos de Crinoideos, Glomospira, Glomospirella, Ammodiscus, espículas, Nodosaria y Lingulina gr. pupa.

Lías medio. Parecido a 40.

20932

25-37 ADBA 44 T

Biomicrita con algo de esparita y pelets y recristalización incipiente. Se reconocen espículas, restos de Crinoides y de Lamelibranquios, Ostrácodos, Ammodiscus, Lingulina gr. pupa, Gaudryina y Glomospira.

Lías medio.

25-37 ADBA 45 L

El levigado está formado por fragmentos de marga e incluye calcificaciones de Microcodium y restos escasos, mal conservados, de Ostrácodos (Cytherella, Progonocythere), piezas de Ofiuras, radiolas, espículas, Vaginulina proxima, Lenticulina munsteri, Lingulina tenera, Astacolus primus, Ammodiscus tenuissimus y Dentalina.

Toarciense.

25-37 ADBA 46 T

Dolosparita recristalizada en grano medio, con sombras de intraclastos y fósiles, entre ellos "microfilamentos y - ¿Crinoides?.

Edad indeterminada. Por geología de campo es Muschel--kalk.

25-37 ADBA 47 L

El levigado está formado por fosilizaciones en pirita - de Algas. Acompañan algunos Radiolarios (Dictyomitra, Rhopalas

20932

trum) y piezas de Ofiuras.

Jurásico. Por geología de campo puede ser Toarciense, pero más bien parece Malm.

25-37 ABDA 48 L

El levigado está formado por fragmentos de marga y contiene frecuentes restos de Globotruncana lapparenti, G. fornicata, G. angusticarinata, G. carinata y G. coronata.

Santoniense.

25-37 ABDA 49 L

El levigado está formado por fragmentos de marga. Incluye muy escasos restos, mal conservados de Radiolarios.

Edad indeterminada. Por geología de campo debe ser Jurásico medio.

25-37 ABDA 50 T

Biomicrodita parcialmente recristalizada. Se reconocen Discocyclus, Melobesias, Gypsina, Cibicides, Lamelibranchios Operculina, Nummulites, Acervulina, Asterodiscus, Amphistegina y Rotálidos.

Eoceno. Probable Luteciense.

20932

25-37 ADBA 51L

El levigado está formado por fragmentos de caliza. Contiene restos orgánicos muy mal conservados, de Cibicides, Equinos, Ostrácodos, pequeñas Discocyclina, Globorotalia aff. -- aequa, G. linaperta y G. primitiva.

~~Landeniense-~~ Ypresiense inferior. *Eocene*

25-37 ADBA 52T

Biomicrodita de Nummulites, con algo de cuarzo. Se reconocen N. gr perforatus-rouaulti, Melobesias, Discocyclina y Heterolepa.

Luteciense.

25-37 ADBA 53L

El levigado está formado por fragmentos de marga calcárea y no contiene fósiles reconocibles.

Edad indeterminada.

25-37 ADBA 54 T

Biomicrorita con algo de glauconita. Se reconocen restos menudos de Equinodermos, Ostrácodos, espículas, Lenticulina, Ammodiscus y calcisferas.

La microfacies parece del Malm (Kimmeridgiense?).

20932

25-37 ADBA 55 †

Biopelmicrita con recristalización incipiente. Se reconocen Radiolarios, Ostrácodos, Ammonites, Globochaete alpina, Ammodiscus, Epistomina, espículas, Saccocoma y otras Ofiuras, protoglobigerina y protoconchas.

Malm. Probable Oxfordiense.

25-37 ADBA 56 †

Biopelmicrita con recristalización incipiente. Se reconocen "protoconchas", Globochaete alpina, Ammodiscus y Saccocoma.

Microfacies del Malm.

25-37 ADBA 57 †

Biomicrorita de Nannoconus y Radiolarios. Acompañan algunas espículas.

Facies de radiolaritas del Barremiense.

25-37 ADBA 58 †

El levigado está formado por "palos de pirita" oxidada y fósiles bien conservados : Catapsydrax dissililis, G. venezuelana, G. opima, Uvigerina mexicana y U. havanensis.

Oligoceno medio.

Bulimina truncana, *Stilostomella nuttali*, *Bolivina semistriata*.

Oligoceno medio-superior.

25-37 ABDA 63 L

El levigado son fragmentos de marga areniscosa. Se reconocen frecuentes restos mal conservados de Radiolarios, espículas y pequeños Globigerináceos, entre ellos *Turborotalia mayeri*, *Globigerinoides trilobus* y *Globorotalia aff. scitula*.

Mioceno, por geología de campo puede ser Burdigaliense - superior.

25-37 ABDA 64 L

El levigado está formado por fragmentos de marga. Se reconocen espículas, Radiolarios y Globigerínidos de talla enana, mal conservados: *G. sacculifer*, *G. trilobus*, *G. (T) mayeri*, *G. venezuelana* y *G. obesa*.

Mioceno, por geología de campo debe ser Burdigaliense.

25-37 ABDA 65 L

El levigado está formado por fragmentos de marga. Se reconocen espículas, Radiolarios y Globigerínidos, entre ellos *G. venezuelana*, *G. obesa*, *G. sacculifer*, *T. mayeri*, *G. scitula* y *G. aff. barisanensis*.

Mioceno. Por geología de campo debe ser Burdigaliense.

25-37 ABDA 59 T

Conglomerado fino. Se reconocen cantos de calizas dolomíticas del ¿Lías?, calizas intraclásticas del Jurásico, caliza con Clypeina del Portlandés, etc. Acompaña escaso cuarzo.- El cemento es calcita espática y no se reconocen fósiles autóctonos.

Edad indeterminada por geología de campo, puede ser Oligoceno.

25-37 ABDA 60 L

El levigado está formado por "palos" de pirita oxidada y Foraminíferos mal conservados: G. dissimilis, G. venezuelana, Uvigerina havanensis, Stilostomella verneuili, S. paucistriata; Cassidulina horizontalis y Cibicides cushmani.

Oligoceno medio-superior.

25-37 ABDA 61 T

Micrita con algo de limo y arcilla. Presenta recristalización incipiente y contiene escasísimos fósiles de Ostrácos, Hedbergella y Nannoconus.

Barremiense-Aptiense.

(puede ser un canto englobado en el Oligoceno)

25-37 ABDA 62 L

El levigado está formado por fragmentos de marga y contiene restos mal conservados de G. venezuelana, Catapsydrax dissimilis, Globoquadrina rohri, Cassigerinella chipolensis,-

20932

25-37 ADBA 66 T

Biomicrodita con algo de cuarzo, parcialmente recristalizada. Incluye restos resedimentados del Eoceno y Oligoceno y otros claramente miocenos: Miogypsina, Globigerinatella insueta, G. trilobus, Amphistegina, Heterostegina y Briozoos.

Mioceno inferior. Probable Burdigaliense-Aquitaniense.

25-37 ADBA 67 L

El levigado está formado por fragmentos de marga e incluye restos mal conservados de G. trilobus, G. quadrilobatus, G. mayeri, espículas y G. insueta.

Burdigaliense-Aquitaniense.

25-37 ADBA 68 T

Biomicrorita arcillosa con niveles ricos en Globigerínidos, entre ellos G. trilobus, G. ruber, G. mayeri, Preorbulina (u Orbulina) y Globoquadrina altispira.

Mioceno inferior. Probable Burdigaliense.

25-37 ADBA 69 L

El levigado está formado por fragmentos de marga e incluye restos mal conservados de espículas, G. trilobus, G. aff. scitula, G. mayeri y G. obesa.

Mioceno. Por geología de campo es Mioceno inferior.

25-37 ADBA 70 L

El levigado está formado por fragmentos de marga. Se reconocen G. mayeri, espículas, Radiolarios.

Mioceno. Por geología de campo es Mioceno inferior.

25-37 ADBA 71 T

Biomicrodita de Nummulites, Discocyclinas y Melobesias. Se reconocen Assilina exponens, N. distans, Acervulina, Rotálidos, Epilithon, Lithophyllum y Lithothamnium.

Luteciense.

25-37 ADBA 72 L

El levigado está formado por fragmentos de marga e incluye T. nana, T. mayeri y T. opima.

Fauna del Oligoceno medio.

25-37 ADBA 73 T

Biomicrodita de Nummulites, Melobesias y Discocyclinas. Se reconocen Gypsina, Lithophyllum, Lithothamnium, Asterodiscus, Nummulites rouaulti, Asterigerina rotula, Briozoos y Rotálidos.

Luteciense.

25-37 ADBA 74 L

El levigado contiene abundante fauna, Discocyclina, Nummulites, G. yeguaensis, G. linaperta, G. centralis, G. cerroazulensis, G. increbescens y Asterigerina rotula.

Priaboniense.

25-37 ADBA 75 L

El levigado son fragmentos de marga mal lavada y restos de G. centralis, G. yeguaensis, C. linaperta, G. ouachitaensis y G. increbescens.

Priaboniense.

25-37 ADBA 76 T

Biomicrodita de Melobesias y Nummulites. Se reconocen Lithothamnium, Archaeolithothamnium, Ethelia, Operculina, Equinidos, Lamelibranquios, Discocyclina, N. rouaulti y Rotálidos.

Luteciense.

25-37 ADBA 77 L

El levigado son fragmentos de marga y restos mal conservados de Globoquadrina rohri, G. aff dissimilis y G. parva.

Edad dudosa. Parece Oligoceno. Por geología de campo Eoceno.

20932

25-37 ADBA 78 L

El levigado incluye muchos restos mal conservados de G. dissimilis, G. rohri y G. venezuelana.

Oligoceno medio-superior.

25-37 ADBA 79 L

El levigado son fragmentos de caliza; contiene algo de cuarzo y de glauconita y fragmentos de fósiles no identificados.

Edad indeterminada. Por geología de campo es Terciario.

2537 AD BA
LEV. Ulex 'L'
L.T. Ulex 'T'

Munster 956 1.

20932

25-37 AD-BA 80.-

LEV. El residuo se compone exclusivamente de fragmentos de caliza microcristalina. No se ven fósiles.

Edad indeterminada. Por geología de campo es Portlandes-Neocomiense.

25-37 AD-BA 82.-

L.T. Biomicrota con recristalización incipiente. Se reconocen restos de Globochaete alpina, Saccocoma, Ostrácodos y protoconchas.

Microfacies del Kimmeridgiense

25-37 AD-BA 84.-

L.T. Bioesparrudita de crinoides, parcialmente recristalizada. Se reconocen artejos y piezas de Crinoides, restos de Lamelibranquios Belemnites, Ostrácodos, Lenticulina, Lingulina gr. pupa.

Lías medio

25-37 AD-BA 85.-

L.T. Brecha dolomítica con fragmentos de una misma caliza-dolomítica de grano fino con sombra de intraclastos y de algas.

Edad indeterminada. La litología parece del Lías inferior.

25-37 AD-BA 87.-

LEV. Residuo formado por fragmentos de marga con aspecto arenoso. Se reconocen Radiolarios, Lenticulina munsteri.

Edad indeterminada. Por geólogo de campo es Lías sup-Dogger

25-37 AD-BA 88.-

LEV. El residuo incluye Dorothia trochus, Lenticulina gaultina, L. kugleri, Gyroidinoides nítida, radiolas, Tritaxia macfadyeni, Gaudryina, Hedbergella aff. planispira.

Albense

20932

25-37 AD-BA 89.-

L.T. Biomicrita de Globigerinaceos, con alga de arcilla. - Se reconocen *Edbergella*, *Heterohelix striata*, *Globotruncana arca*, *G. stuarti*, y *G. gansseri*.

Maestrichtiense

25-37 AD-BA 90.-

LEV. El residuo está formado por fragmentos de caliza (calilutita). No se reconocen fósiles.

Edad indeterminada. Por geología de campo es Jurásico.

25-37 AD-BA 91.-

L.T. Biomicrita de "filamentos" con pelets, recristalizada. Además de las protoconchas incluye Radiolarios, *Globochaete alpina*, *Ammodiscus*, *Lenticulina*, Ostrácodos y fragmentos de Ofiuras?.

Bajociense

25-37 AD-BA 92.-

LEV. El residuo es muy rico en fósiles. Se reconocen *Praeglobotruncana stephani*, *Hedbergella amabilis*, *Rotalipora apenninica*, *Marssonella trochus*, *Tritaxia pyramidata*, *Ammobaculites parvispira*, *Globigerinellodes*, *Ammodiscus* y *Glomospira*.

Cenomanense inferior

25-37 AD-BA 94.-

L.T. Biopelmicrita de Radiolarios con silex. Se reconocen algunos protoconchas, Ostrácodos y *Globochaete alpina*.

Malm

20932

25-37 AD-BA 95.-

L.T. Biomicrita de Globigerinaceos, arcillosa. Se reconocen *Heterohelix striata*, *Pseudotextularia elegans*, *Globotruncana stuarti*, y *G. -* *arca*.

Senoniense superior. Probable Maes--
trichtiense.

25-37 AD-BA 97.-

L.T. Caliza dolomítica, dolosparita arenosa, sin fósiles re-
conocibles.

Edad indeterminada

25-37 AD-BA 98.-

L.T. Intraesparita con micrita y fósiles. Se reconocen *Li--* *tuosepta recoarensis*, *Thaumatoporella parvovesiculifera*, *Ostrácodos* y *Ammo--* *discus*.

Lías-Sinenuriense

25-37 AD-BA 99.-

L.T. Oosparita con oolitos bien desarrollados. Algunos de -
ellos incluyen restos de Crinoides, Miliólidos, *Ostrácodos* y ¿*Protopenero--* *plis?*.

Edad indeterminada. Parece la facie-
~~oolítica con *Penetroplis* del Batho--~~
~~niense.~~

25-37 AD-BA 100.-

L.T. Biopelmicrita con filamentos. Se reconocen, además de
frecuentes "protoconchas", fragmentos menudos de Equinodermos, *Amodiscus*, -
Ostrácodos y pequeños Lagénidos.

Jurásico no determinado. ~~La microf-~~
~~cies parece del Caloviense.~~

20932

25-37 AD-BA 101.-

L.T. Biopelmicrita con esparita. Se reconocen "protoconchas", espículas, Gaudryina, Ostrácodos, Radiolarios, Lenticulina, protoglobigerinas y Ammodiscus.

Caloviense-Oxfordiense

25-37 AD-BA 102.-

L.T. Biomicrita. Se reconocen "protoconchas", Globochaete alpina, Ammodiscus, piecitas de Ofiuras, Dentalina y Nodosaria.

Jurásico. La microfacies parece del Malm.

25-37 AD-BA 103.-

L.T. Biopelmicrita de filamentos, parcialmente recristalizada. Además de las protoconchas, se reconocen pequeños fragmentos de Echinodermos y Ammodiscus.

Jurásico. La microfacies está emparentada con la de la muestra 101. Probable Malm inferior.

25-37 AD-BA 104.-

L.T. Biopelmicrita. Se reconocen "protoconchas", Ostrácodos, piezas de Ofiuras, Radiolarios, Globochaete alpina, y Eothrix alpina.

Malm. Análoga a la 102. Probable -- Kemmeridgiense inferior.

25-37 AD-BA 105.-

L.T. Micrita totalmente homogénea, sin fósiles.

Edad indeterminada. Por geología de campo es Malm.

20932

25-37 AD-BA 106.-

L.T. Biopelmicritas de Calpionellas, con intraclastos. Se reconocen Calpionella alpina, G. oblonga, protoconchas, Globochaete alpina, Ammodiscus, Saccocoma, Ostrácodos, Tintinopsella carpathica, Calpionellites darderi.

Barriasiense

25-37 AD-BA 107.-

L.T. Biomierudita con esparita, con la matriz recristalizada en su mayor parte. Se reconocen Epilithon, Distichoplax biserialis, Archaeolithothammium, Alveolina, Nummulites, Operculina, Orbitolites, Miliólidos y Discocyclina.

Landeniense-Ypresiane

25-37 AD-BA 108.-

LEV. El residuo se compone de fragmentos calizos duros y algo de cuarzo. Entre los fragmentos calizos se reconocen restos de -----
- Melobesias, Equinidos, Gypsina, Ostrácodos, Lenticulina y Globigerina.

Terciario. Por geología de campo es Eoceno.

25-37 AD-BA 109.-

L.T. Bicesparrudita con micrita recristalizada. Se reconocen Epilithon, Distichoplax biserialis, Lithophyllum, Gypsina, Opertorbitolites, Miscellanea, Miliólidos, Cuvillierina, Cibicides, Alveolina.

Landeniense

25-37 AD-BA 110.-

L.T. Micrita arcillosa limosa con fósiles. Se reconocen - espículas, Hedbergella?, G. daujergensis?

Daniense. Dudoso daniense

Edad indeterminada

25-37 AD-BA 112.-

LEV. El residuo incluye muchos restos de *Discocyclina* aff. *nummulítica*, *Nummulites* aff. *variolarius*, *Eorupertia*, Equínidos, *Cibicides* - *pseudonugermanus*, Ostrácodos, *Amphistegina* y *Rotalia stellata*.

Luteciense superior

25-37 AD-BA 113.-

L.T. Biomicrodita de *Nummulites*, con esparita y pelets. Se reconoce *Nummulites* gr. *perforatus*-*revaulti*, *Asterigerina* *rotula*, *Gypsina*, - *Heterolepa*, *Eorupertia*, Equínidos, Miliólidos y Alveolinas deformadas.

Luteciense superior

25-37 AD-BA 114.-

L.T. Biomicrodita de *Nummulites* con esparita y pelets. Se reconocen *N. perforatus*, *Cibicides*, placas de Equínidos, *Gypsina*, *Lithophyllum*, *Fabiania*, *Heterolepa*, *Epilithon*, ¿*Linderina*?, *Eorupertia*.

Luteciense superior

20932

25-37-AD-BA-115.-

LEV. Resíduo formado por fragmentos de marga, con restos mal conservados de Radiolarios. Ammodiscus, Ostrácodos. Indeterminada. Posible Barremiense (Facies de Radiolarios y Nannoconus).

25-37-AD-BA-116.-

L.T. Biomicrita de Radiolarios y Nannoconus, con algunas Hedbergella, esquirlas finas de Ostrácodos y Ammodiscus.

Barremiense.

25-37-AD-BA-117.-

L.T. Biomicrita de Radiolarios y Nannoconus, junto con esquirlas de Ostrácodos y Ammodiscus.

Barremiense.

25-37-AD-BA-118.-

LEV. Resíduo formado por fragmentos de marga con restos muy mal conservados de Radiolarios, Globigerinas terciarias (G. af. senni), Turborotalias sp., Globorotalia af. aragonensis.

Terciario indeterminado. Posible Ypresiense-Luteciense inferior. (Por geología de campo puede ser Eoceno).

25-37-AD-BA-119.-

L.T. Biomicrita con restos de Ostrácodos, Cibicid-

20932

des, espículas, radiolas, Quinqueloculina, Ophthalmididos, Glomospira, Bolivina, Trifarina, Pyrgo, Globorotalia ^{sp.} - ~~Velasquezensis.~~

Terciario. Posible Paleoceno.

Eocen. sup.

25-37-AD-BA-120.-

L.T. Biomicrita con restos algo borrosos por la recristalización. Se determinan Cibicides, radiolas, Microcodium, Trifarina, Chiloguembelina, Gypsina, espículas, Bolivina.

~~Eoceno. Posible Paleoceno.~~

Terciario (probable Eoceno-Oligoceno)

25-37-AD-BA-121.-

LEV. Resíduo formado por fragmentos de marga, con escasos restos mal conservados de Microcodium, Globigerinas terciarias, Ostrácodos, Cibicides.

~~Eoceno. Posible Paleoceno (Muy similar a 118).~~

Terciario

25-37-AD-BA-122.-

LEV. Resíduo formado por fragmentos de marga, con frecuentes restos mal conservados de espículas, Radiolarios, Globigerinoides quadrilobatus, Porticulasphaera - transitoria, Globorotalia mayeri, G. pseudobesa, Globigerinoides trilobus, Globoquadrina dehiscens), Discorbis orbicularis, Gyroidina, Cibicides pseudoungerianus,

Burdigaliense.

25-37-AD-BA-123.-

L.T. Biomicrita de Nannoconus y Radiolarios. - Muy parecida a la 117.

Barremiense.

25-37-AD-BA-124.-

LEV. Resíduo formado por trozos de marga y frecuentes restos mal conservados de *Heterchelix*, *Hedbergella*, *Globotruncana fornicata*, *G. lapparenti*, *G. arca*, *G. stuarti formis*.

Campaniense.

25-37-AD-BA-125.-

L.T. Biomicrita arenosa con parte recristalizada y muchos poros. Se reconocen Briozoos, Equínidos, *Lameli* branquios, *Cibicides lobatulus*, *Elphidium crispum*, *Discorbis orbicularis*, *Planulina arminensis*, *Globigerinoides* sp.

Tortonense-Andaluciense.

25-37-AD-BA-126.-

L.T. Biopelsparita parcialmente recristalizada. Se reconocen Ostrácodos, espículas, fragmentos pequeños de Equinodermos, *Lenticulina*, *Gaudriyna*, *Microcodium*?

Indeterminada. Por criterios geológicos puede ser Lías.

25-37-AD-BA-127.-

L.T. Biomicrita con abundantes restos triturados en tamaño muy fino. Se reconocen "protoconchas", espículas, Ostrácodos.

Jurásico. La microfacies parece del Lías superior.

25-37-AD-BA-128.-

L.T. Biomicrita de *Nannocenus* y Radiolarios.
Barremiense.

25-37-AD-BA-129.-

L.T. Biomicrita de Radiolarios y filamentos, jun

20932

to con Ostrácodos, Globochaete alpina, espículas, fragmentos de Ofiuras, pequeños Lagénidos.

Malm. Posible Kimmeridgiense inferior

25-37-AD-BA-130.-

L.T. Biomicrita de Radiolarios y filamentos, junto con Ostrácodos, embriones de Ammonites, Globochaete alpina, Lamelibranquios, espículas, fragmentos de Ofiuras, Proto globigerinas?.

Oxfordiense-Kimmeridgiense inferior.

25-37-AD-BA-131.-

L.T. Biomicrita de Radiolarios y filamentos, en parte recristalizada, junto con espículas, Globochaete alpina, Ammodiscus, fragmentos de Ofiuras.

Bathoniense-Malm.

25-37-AD-BA-132.-

LEV. Resíduo formado por fragmentos de calizas, con restos muy escasos y mal conservados de Ammodiscus y ¿Tintínidos?.

Indeterminada. Muy dudoso Neocomiense.

25-37-AD-BA-133.-

LEV. Residuo muy rico en Pseudotextularia elegans, Heterohelix striata, Globotruncana arca, G. stuarti, G. falsostuarti, G. lamellosa, G. citae, G. conica, G. contusa, Hedbergella, Globigerinelloides, Schackoina.

Maestrichtiense.

25-37-AD-BA-134.-

L.T. Biopelmicrita de Radiolarios y filamentos, en parte recristalizada, junto con Ammodiscus, espículas, Ostrácodos, Globochaete alpina, ¿Protoglobigerinas?

Id. a 130. Malm-Bathoniense (Posible Oxfordiense-Kimmeridgiense inferior).

20932

25-37-AD-BA-135.-

L.T. Biomicrita de Radiolarios y filamentos, junto con algunos Ostrácodos y espículas.

Malm-Bathonienne, Posible Kimmeridgiense inferior. Id. a 129.

25-37-AD-BA-136.-

L.T. Biosparita llena de Microcodium, con algo de glauconita, junto con escasos restos de Ostrácodos, Cibicides, Globorotalia gr. aequa-angulata.

Paleoceno.

25-37-AD-BA-137.-

L.T. Biomicrita de filamentos y Radiolarios, junto con Ostrácodos, espículas y Globochaete alpina.

Malm-Bathonienne.

25-37-AD-BA-138.-

L.T. Biomicrita llena de Microcodium, (M. elegans), junto con Cibicides, Heterolepa, Ostrácodos, Gaudryina, Glomospira, Truncorotalia, y pequeñas Globigerinas, y algo de glauconita.

Paleoceno.

25-37-AD-BA-139.-

L.T. Biomicrudita de Nummulites, con algo de glauconita, junto con Assilina exponens, Nummulites roualti-perforatus, N. brogniarti-molli, Discocyclina, Equínidos, Melobesias.

Luteciense.

25-37-AD-BA-140.-

L.T. Biomicrita llena de Globotruncanas (G. angusticarinata, G. lapparenti, G. carinata), Heterohelix striata, Pseudotextularia elegans, Hedbergella, prismas de

Inoceramus, Ostrácodos.

Santoniense.

25-37-AD-BA-141.-

LEV. Resíduo formado por fragmentos de marga, algo de cuarzo y restos de Microcodium, junto con muy escasos restos de Ammodiscus, Ostrácodos, radiolas.

Indeterminada. Titónico por criterios geológicos.

25-37-AD-BA-142.-

LEV. Resíduo formado por fragmentos de marga sin deshacer, con restos muy escasos y mal lavados de Radiolarios, Ammodiscus, radiolas, Lenticulina, Dentalina, fragmentos de Aptychus y Cytharina.

Neocomiense.

①

924

20932

25-37-AD-BA-143.F

Equínidos
Amphistegina
Rotálidos s. l.
Discórbidos
Operculina
Globigerínidos
Lepidocyclina
Melobesias

Oligoceno?

25-37-AD-BA-144.J

Melobesias
Operculina
Rotalia
Lepidocyclina (?)
Briozoos
Equínidos

Oligoceno?

25-37-AD-BA-145.F

Equinodermos
Rotálidos s. l.
Anomalínidos
Nummulites
Operculina

Eoceno

20932

25-37-AD-BA-146 ↓

El residuo de levigación está formado por trozos de marga.

Se determinan:

Rectouvigerina elegans

Globigerina venezuelana

Globorotalia obesa

Globigerinoides trilobus

Mioceno inferior

25-37-AD-BA-147 ↓

El residuo de levigación está formado por trozos de marga arenosa. Hay resedimentación del Cretácico.

Se determinan:

tubos calizos de Algas

Plectofrondicularia gemina

Elphidium crispum

Ammonia beccarii

Globigerinoides trilobus

Nonion boueanum

Helvetiense-Plioceno

25-37-AD-BA-148 ↓

El residuo de levigación está formado por trozos de marga y abundante yeso.

25-37-AD-BA-150J-

Melobesias
Equinidos
Briozoos
Rotalia
Amphistegina
Globigerinidos
Borelis

¿Mioceno?

25-37-AD-BA-151J-

Nummulites
Alveolinidos
Discocyclina
Rotalia
Textuláridos
Lituólidos
Briozoos
Amphistegina
Miliólidos

Eoceno

Se determinan:

Globigerinoides trilobus

Globigerinoides ruber

Globigerinoides bisphaericus

Præaorbulina glomerosa curva

Globorotalia foshi barisanensis

Præaorbulina glomerosa circularis

Burdigaliense superior

25-37-AD-BA-152 ↓

El residuo de levigación está formado por trozos de marga.

Se determinan:

tubos calizos de Algas.

Edad indeterminada

25-37-AD-BA-153 ↓

El residuo de levigación está formado por trozos de marga arenosa. Hay resedimentación del Cretácico y Eoceno.

Se determinan:

tubos calizos de Algas

Ammonia beccarii

Nonion boueanum

Uvigerina barbatula

Bulimina elongata lappa

Uvigerina peregrina

Globigerinoides trilobus

Bulimina buchiana

Tortonienne

(o más moderno con todo resedimentado)